

## ОТРАЖЕНИЕ И ПРЕЛОМЛЕНИЕ СФЕРИЧЕСКИХ ЗВУКОВЫХ ВОЛН ПРИ ПЕРЕХОДЕ ИЗ НЕПОДВИЖНОЙ СРЕДЫ В ДВИЖУЩУЮСЯ

С. С. Войт

(Москва)

Задача об отражении и преломлении сферических волн при переходе из одной среды в другую рассматривалась многими авторами: Зоммерфельдом, Оттом, В. А. Фоком, Л. М. Бреховских и др.

Наиболее полный анализ решения этой задачи дан в работах Л. М. Бреховских; подробная библиография по этому вопросу имеется в его статье [1].

В настоящей работе рассматривается задача об отражении и преломлении сферических звуковых волн при переходе из неподвижной жидкой среды в движущуюся жидкую среду с другими свойствами. Полученное решение исследуется методами асимптотических разложений.

§ 1. Пусть имеются два полупространства, заполненные жидкостями и разделенные горизонтальной плоскостью, которая принимается за плоскость  $xy$  прямоугольной системы координат. Ось  $z$  направлена вверх. Верхняя и нижняя среды характеризуются соответственно плотностями  $\rho$ ,  $\rho_1$  и скоростями распространения звука в этих средах  $c$ ,  $c_1$ . Верхняя среда покоится, а нижняя движется со скоростью  $U$  в направлении оси  $x$ . В точке  $z = h$  в верхней среде находится источник гармонических звуковых волн частоты  $\sigma$ . Задача состоит в изучении акустического поля этого источника.

Введем потенциалы скоростей звуковых волн для верхней и нижней сред соответственно  $\Phi(x, y, z, t)$  и  $\Phi_1(x, y, z, t)$ .

Как известно, эти потенциалы должны удовлетворять уравнениям

$$\begin{aligned} \frac{\partial^2 \Phi}{\partial t^2} &= c^2 \Delta \Phi \\ \frac{\partial^2 \Phi_1}{\partial t^2} + 2U \frac{\partial^2 \Phi_1}{\partial t \partial x} + U^2 \frac{\partial^2 \Phi_1}{\partial x^2} &= c_1^2 \Delta \Phi_1 \end{aligned} \quad (1.1)$$

Первое граничное условие при  $z = 0$  получается из требования обшей границы раздела между жидкостями.

Пусть уравнение поверхности раздела

$$z = \zeta(x, y, t)$$

Считая скорости звуковых движений малыми, получим для составляющих скорости по оси  $z$  для верхней и нижней сред соответственно

$$w = \frac{\partial \zeta}{\partial t}, \quad w_1 = \frac{\partial \zeta}{\partial t} + U \frac{\partial \zeta}{\partial x} \quad (1.2)$$

Исключая из этой системы  $\zeta$  и вводя потенциалы скоростей звуковых волн, получим

$$\frac{\partial^2 \Phi_1}{\partial t \partial z} = \frac{\partial^2 \Phi}{\partial t \partial z} + U \frac{\partial^2 \Phi}{\partial x \partial z} \quad (1.3)$$

Второе граничное условие получается из непрерывности давления на границе раздела. Вводим, как обычно, коэффициенты уплотнения  $s$  и  $s_1$  в уравнения движения и уравнения неразрывности, получаем для верхней и нижней сред соответственно

$$s = \frac{1}{c^2} \frac{\partial \Phi}{\partial t}, \quad s_1 = \frac{1}{c_1^2} \left[ \frac{\partial \Phi_1}{\partial t} + U \frac{\partial \Phi_1}{\partial x} \right] \quad (1.4)$$

Пользуясь тем, что давление и плотность жидкости связаны соотношением  $p = p_0 + \rho_0 c^2 s$ , получим, приравнявая давление сверху и снизу на границе раздела жидкостей

$$\rho_1 \left[ \frac{\partial \Phi_1}{\partial t} + U \frac{\partial \Phi_1}{\partial x} \right] = \rho \frac{\partial \Phi}{\partial t} \quad (1.5)$$

Полагая теперь

$$\Phi(x, y, z, t) = e^{-i\sigma t} \varphi(x, y, z), \quad \Phi_1(x, y, z, t) = e^{-i\sigma t} \varphi_1(x, y, z) \quad (1.6)$$

получим для функций  $\varphi$  и  $\varphi_1$  уравнения

$$\Delta \varphi + k^2 \varphi = 0 \quad \left( \frac{\sigma}{c} = k \right) \quad (1.7)$$

$$\Delta \varphi_1 + k_1^2 \varphi_1 + 2i\beta k_1 \frac{\partial \varphi_1}{\partial x} - \beta^2 \frac{\partial^2 \varphi_1}{\partial x^2} = 0 \quad \left( \frac{\sigma}{c_1} = k_1, \frac{U}{c_1} = \beta \right) \quad (1.8)$$

и граничные условия

$$\begin{aligned} k_1 \frac{\partial \varphi_1}{\partial z} &= k_1 \frac{\partial \varphi}{\partial z} + i\beta \frac{\partial^2 \varphi}{\partial x \partial z} \\ m \left( k_1 \varphi_1 + i\beta \frac{\partial \varphi_1}{\partial x} \right) &= k_1 \varphi \quad (m = \rho_1 / \rho) \end{aligned} \quad \text{при } z = 0 \quad (1.9)$$

Задача заключается, таким образом, в решении уравнений (1.7) и (1.8) при граничных условиях (1.9). Потенциал в верхней среде будет складываться из потенциала прямой и отраженной волн, а потенциал нижней среды представляет преломленные волны.

Частные решения для потенциала отраженных и преломленных волн можно взять соответственно в виде

$$\varphi_r = A(q, \theta) \exp \left[ -\sqrt{q^2 - k^2} z + iq(x \cos \theta + y \sin \theta) \right] \quad (1.10)$$

$$\varphi_1 = B(q, \theta) \exp \left[ \sqrt{q^2 - (k_1 - \beta q \cos \theta)^2} z + iq(x \cos \theta + y \sin \theta) \right] \quad (1.11)$$

где  $q$  и  $\theta$  произвольны так же, как и вид функций  $A(q, \theta)$  и  $B(q, \theta)$ .

Воспользуемся интегральным представлением потенциала источника (т. е. прямой волны) в виде<sup>[2]</sup> (стр. 457, 34)

$$\varphi = \frac{1}{2\pi} \int_0^\infty \frac{q dq}{\sqrt{q^2 - k^2}} \int_{-\pi}^\pi \exp \left[ iq(x \cos \theta + y \sin \theta) - (h - z) \sqrt{q^2 - k^2} \right] d\theta \quad (1.12)$$

и будем отыскивать потенциал отраженных и преломленных волн по подобие потенциала прямых волн, интегрируя частные решения (1.10) и (1.11) по  $q$  и  $\theta$ .

Окончательный вид функций  $A(q, \theta)$  и  $B(q, \theta)$  определится из граничных условий. После всех вычислений получаем

$$\varphi_r = \frac{k}{2\pi} \int_0^\infty \frac{q dq}{Vq^2 - 1} \int_{-\pi}^\pi \frac{m Vq^2 - 1 (n - \beta q \cos \theta)^2 - n^2 Vq^2 - (n - \beta q \cos \theta)^2}{m Vq^2 - 1 (n - \beta q \cos \theta)^2 + n^2 Vq^2 - (n - \beta q \cos \theta)^2} \times \\ \times \exp \{k [iq (x \cos \theta + y \sin \theta) - (h + z) \sqrt{q^2 - 1}]\} d\theta \quad (1.13)$$

$$\varphi_1 = \frac{k_1}{\pi} \int_0^\infty q dq \int_{-\pi}^\pi \frac{n - \beta q \cos \theta}{m Vq^2 - 1 (n - \beta q \cos \theta)^2 + n^2 Vq^2 - (n - \beta q \cos \theta)^2} \times \\ \times \exp \{k [iq (x \cos \theta + y \sin \theta) - h \sqrt{q^2 - 1} + \sqrt{q^2 - (n - \beta q \cos \theta)^2} z]\} d\theta \quad (1.14)$$

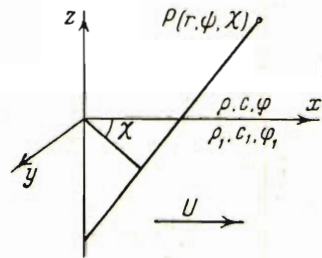
где  $n = k_1/k$ . Полное выражение потенциала в верхней среде получится при сложении правых частей (1.12) и (1.13).

§ 2. Для выяснения некоторых особенностей изучаемого явления воспользуемся асимптотическим исследованием решения в виде (1.13) и (1.14).

Начнем с анализа отраженных волн.

Введем сферическую систему координат с началом в точке, совпадающей с «мнимым источником», т. е. зеркальным отображением действительного источника (фиг. 1) в плоскости  $z=0$ . Для этого положим

$$\begin{aligned} x &= r \cos \psi \cos \chi \\ y &= r \cos \psi \sin \chi \\ h + z &= r \sin \psi \end{aligned} \quad (2.1)$$



Фиг. 1

Из условий получения выражения (1.12) следует брать ту ветвь  $\sqrt{q^2 - 1}$ , для которой при больших  $q$  корень положителен. Особая точка обходится под осью  $q$ , откуда следует, что при  $q < 1$  корень  $\sqrt{q^2 - 1} = -i \sqrt{1 - q^2}$ .

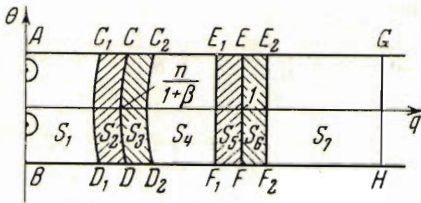
Точно так же  $\sqrt{q^2 - (n - \beta q \cos \theta)^2} = -i \sqrt{(n - \beta q \cos \theta)^2 - q^2}$  при  $q < n / (1 + \beta \cos \theta)$ .

Воспользуемся формулой для асимптотической оценки двойных интегралов [3,4] при больших  $r$

$$\iint_S F(q, \theta) e^{irw(q, \theta)} dq d\theta = \frac{i}{r} \left[ \pm \frac{2\pi}{V(w_{q_0} w_{\theta_0} - w_{q_0^2})_{00}} F(q_0, \theta_0) e^{irw(q_0, \theta_0)} - \right. \\ \left. - \int_\Gamma \frac{F(q, \theta) \exp [irw(q, \theta)]}{|\text{grad } w|^2} \left( \frac{\partial w}{\partial q} d\theta - \frac{\partial w}{\partial \theta} dq \right) \right] + \frac{1}{r} O\left(\frac{1}{r}\right) \quad (2.2)$$

где  $q_0, \theta_0$  — точка внутри контура, в которой функция достигает минимума или максимума (в первом случае следует взять верхний знак, а во втором — нижний). Индексы 00 указывают на то, что значение берется в точке  $q_0, \theta_0$ . Контур  $\Gamma$  заключает область интегрирования  $S$ . Формула (2.2) получена в предположении, что в области интегрирования функции  $F(q, \theta)$  и  $w(q, \theta)$  непрерывны вместе со своими производными первая до второго и вторая до четвертого порядка. Производные функции  $F(q, \theta)$

и  $w(q, \theta)$  становятся разрывными на прямой  $EF$  и на кривой  $CD$  (фиг. 2), на которых обращаются в нуль соответственно  $\sqrt{q^2-1}$  и  $\sqrt{q^2-(n-\beta q \cos \theta)^2}$ . Вырежем малые области, заключающие эти линии<sup>1</sup>, тогда к областям



Фиг. 2

Получаем, что она удовлетворяется в точках с координатами

$$q = \cos \psi, \quad \theta = \chi \quad \text{при } \psi < \frac{1}{2} \pi \tag{2.3}$$

$$q = -\cos \psi, \quad \theta = -\pi + \chi \quad \text{при } \psi > \frac{1}{2} \pi \tag{2.4}$$

а также в точках с координатами

$$q = 0, \quad \theta = \chi \pm \frac{1}{2} \pi \tag{2.5}$$

Экстремальная точка (2.3) лежит внутри области  $S_1$  или  $S_4$  (фиг. 2), если предположим, что угол  $\psi$  не близок к углу  $\psi_0 = \arccos n$ . Применяя формулу (2.2) к оценке интегралов по этим двум областям и производя вычисления, получаем, что часть интеграла, определяемая экстремальной точкой (2.3), имеет вид:

$$\psi_r = \frac{m(n - \beta \cos \psi \cos \chi)^2 \sin \psi - n^2 \sqrt{(n - \beta \cos \psi \cos \chi)^2 - \cos^2 \psi} \exp(ikr)}{m(n - \beta \cos \psi \cos \chi)^2 \sin \psi + n^2 \sqrt{(n - \beta \cos \psi \cos \chi)^2 - \cos^2 \psi}} \tag{2.6}$$

К этому выражению следует, согласно формуле (2.2), прибавить еще интегралы по контурам области  $S_1$  и  $S_4$ . Точки (2.5) окружим малыми полукругами и примем за область интегрирования  $S_1$  прямоугольник  $ABD_1C_1$  с двумя вырезами около точек (2.5), затем перейдем к пределу, устремляя радиус этих полукругов к нулю. При этом легко видеть, что интегралы по полуокружностям исчезают, так как в них подинтегральные функции остаются ограниченными, а путь интегрирования бесконечно убывает. Тем же способом, как в<sup>[3]</sup>, указывается, что порядок остаточного члена в (2.2) при переходе к пределу не возрастает. На прямолинейной части пути  $AB$  интеграл исчезает, так как подинтегральная функция здесь обращается в нуль. Интегралы по путям  $C_1A$  и  $E_1C_2$  взаимно уничтожатся соответственно с интегралами по путям  $BD_1$  и  $D_2F_1$ , так как подинтегральная функция при угле  $\theta = \pi$  и  $\theta = -\pi$  одинакова, а интегрирование по  $q$  ведется в этих интегралах в обратных направлениях. Остаются интегралы по путям  $D_1C_1$ ,  $C_2D_2$  и  $F_1E_1$ .

Переходим теперь к оценке интеграла по области  $S_7$ . В этой области  $\text{grad } w \neq 0$ , поэтому можно, применяя теорему Грина, получить оценку.

<sup>1</sup> Для определенности рассматриваем случай  $n < 1$ .

Если

$$I = \iint_S F(\alpha, \beta) e^{r\omega(\alpha, \beta)} d\alpha d\beta \quad (2.7)$$

то

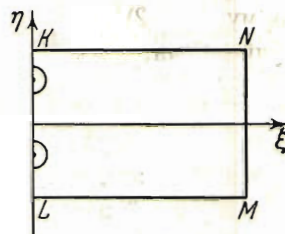
$$I = \frac{1}{r} \int_{\Gamma} \frac{F(\alpha, \beta)}{|\text{grad } \omega|^2} e^{r\omega(\alpha, \beta)} \left( \frac{\partial \omega}{\partial \alpha} d\beta - \frac{\partial \omega}{\partial \beta} d\alpha \right) + \frac{1}{r} O\left(\frac{1}{r}\right) \quad (2.8)$$

где  $\omega(\alpha, \beta)$  может быть и комплексным. Двойной интеграл по области  $S_7$  сведется к интегралу по контуру этой области. Как и раньше, интегралы по путям  $GE_2$  и  $F_2H$  взаимно уничтожатся. Интеграл по пути  $HG$  содержит затухающий с ростом  $q$  по показательному закону множитель и поэтому исчезает, если этот путь удаляется в бесконечность вдоль оси  $q$  и тем самым получается значение интеграла по полубесконечной полосе (при таком переходе к пределу остаточный член в (2.8) ограничен). Остается только интеграл по прямой  $E_2F_2$ .

Теперь перейдем к оценке интегралов по заштрихованным областям. Так как в произведенной ранее асимптотической оценке удерживались только члены порядка малости  $r^{-1}$ , то достаточно будет показать, что интегралы по заштрихованным областям имеют порядок малости по  $r$  больший, чем  $r^{-1}$ . Рассмотрим, например, интеграл по области  $S_2$ , причем за кривую  $C_1D_1$  возьмем такую кривую, на которой  $\sqrt{(n - \beta q \cos \theta)^2 - q^2} = a$ , где  $a$  — некоторое малое число. Произведем в интеграле замену переменных интегрирования, положив

$$\xi = \sqrt{(n - \beta q \cos \theta)^2 - q^2}, \quad \eta = \theta \quad (2.9)$$

Можно убедиться в том, что при выполнении условия о малости  $a$  (достаточно, чтобы выполнялось условие  $a < n$ ) преобразование (2.9) дает взаимно однозначное соответствие между областью  $S_2$  в плоскости  $q, \theta$  и соответствующей областью  $\Sigma_2$  в плоскости  $\xi, \eta$ . Причем область  $\Sigma_2$  представляет собой прямоугольник, изображенный на чертеже (фиг. 3). В этой области как  $F(\xi, \eta)$ , так и  $\omega(\xi, \eta)$  непрерывны вместе со своими производными. Вычисляя определитель преобразования, получим



Фиг. 3

$$dq d\theta = - \frac{\xi}{\sqrt{n^2 - \xi^2 (1 - \beta^2 \cos^2 \eta)}} d\xi d\eta \quad (2.10)$$

и поэтому в преобразованную подинтегральную функцию  $\xi$  будет входить множителем. Величина  $q$  выражается через  $\xi$  и  $\eta$  следующим образом:

$$q = \frac{-\beta n \cos \eta + \sqrt{n^2 - \xi^2 (1 - \beta^2 \cos^2 \eta)}}{1 - \beta^2 \cos^2 \eta} \quad (2.11)$$

Исследуем вопрос о экстремальных точках функции  $\omega(\xi, \eta)$  в области  $\Sigma_2$ . Для этого приходится исследовать систему

$$\frac{\partial \omega}{\partial q} \frac{\partial q}{\partial \xi} = 0, \quad \frac{\partial \omega}{\partial q} \frac{\partial q}{\partial \eta} + \frac{\partial \omega}{\partial \theta} = 0 \quad (2.12)$$

где переменные  $q, \theta$  меняются в области  $S_2$ . Так как в этой области  $\text{grad } w \neq 0$ , то система (2.12) может иметь решение только в том случае, если  $\partial q / \partial \xi = 0$ . Но

$$\frac{\partial q}{\partial \xi} = \frac{-\xi}{V n^2 - \xi^2 (1 - \beta^2 \cos^2 \eta)} \quad (2.13)$$

а следовательно, обращается в нуль только при  $\xi = 0$ , т. е. на границе области  $\Sigma_2$ . Заметив это, применим теорему Грина в виде (2.8) к интегралу по области  $\Sigma_2$  за вычетом полукругов малого радиуса вокруг тех точек, для которых удовлетворяется система (2.12). Дальнейшие рассуждения почти дословно повторяют сказанное при оценке интеграла по области  $S_1$ . В интеграле по области  $S_5$  производится замена переменных  $\xi = V\sqrt{1 - q^2}$ ,  $\eta = \theta$  и также применяется теорема Грина. Оказывается, что здесь оценка производится еще проще, так как ни внутри соответствующей области, ни на ее границе  $\text{grad } w \neq 0$ . Так же оцениваются и интегралы по областям  $S_3$  и  $S_6$ .

Остались не оцененными лишь интегралы по линиям сопряжения областей  $S_1$  и  $S_2$ ,  $S_3$  и  $S_4$ ,  $S_4$  и  $S_5$ ,  $S_6$  и  $S_7$ ; их асимптотические значения при сложении интегралов по смежным областям должны взаимно уничтожиться, что следует из независимости асимптотического значения интеграла по всей полосе от выбора этих границ.

В результате произведенных оценок устанавливаем, что порядок  $r^{-1}$  имеет только выражение (2.6), а следовательно, для потенциала отраженных волн окончательную асимптотическую оценку с сохранением первого члена можно дать в виде (2.6). При  $\beta = 0$  из (2.6) получается известная формула<sup>[1]</sup>. Если верхняя и нижняя среды одинаковы, то, несмотря на это, коэффициент отражения не равен нулю, а следовательно, часть звуковой энергии в этом случае будет отражаться. Если  $\chi = \frac{1}{2}\pi$ , то для отраженных волн получаем то же выражение, что и при  $\beta = 0$ , т. е. в направлении, перпендикулярном скорости потока, коэффициент отражения из-за движения потока не меняется.

Исследование потенциала преломленных волн производится сложнее. Проведем для упрощения это исследование в плоскости  $y = 0$ . Область интегрирования разобьем на те же части, как и для отраженных волн. Введем полярную систему координат

$$x = r \cos \psi_1, \quad -z + h = r \sin \psi_1 \quad (2.14)$$

Тогда получим часть интеграла по области  $S_1$  в виде

$$I_1 = \iint_{S_1} F(q, \theta) \exp[ikrw(q, \theta)] dq d\theta \quad (2.15)$$

где

$$F(q, \theta) = \frac{ik_1}{\pi} \frac{q(n - \beta q \cos \theta) \exp[ikh(V\sqrt{1 - q^2} - V(n - \beta q \cos \theta)^2 - q^2)]}{m(n - \beta q \cos \theta)^2 V\sqrt{1 - q^2} + n^2 V(n - \beta q \cos \theta)^2 - q^2}$$

$$w(q, \theta) = q \cos \psi_1 \cos \theta + \sin \psi_1 V(n - \beta q \cos \theta)^2 - q^2 \quad (2.16)$$

Для определения точек максимума и минимума функции  $w(q, \theta)$  внутри области  $S_1$  приходится решать систему уравнений  $\partial w / \partial q = 0, \partial w / \partial \theta = 0$ , которая, согласно (2.16), имеет особое решение, когда  $\text{ctg } \psi = \beta$ .

Углы, близкие к  $\psi_0$ , для которого  $\text{ctg } \psi_0 = \beta$ , исключим из рассмотрения (решение  $q = 0, \theta = \pm \frac{1}{2} \pi$  несущественно, так же как и для отраженных волн).

Система в зависимости от угла  $\psi_1$  имеет решение в виде

$$\begin{aligned} \theta_1 = 0, \quad q_1 &= \frac{n \cos \psi_1 - \beta \sqrt{1 - \beta^2 \sin^2 \psi_1}}{1 - \beta^2} \sqrt{1 - \beta^2 \sin^2 \psi_1}, & \text{если } 0 < \psi_1 < \psi_0 \\ \theta_2 = \pi, \quad q_2 &= \frac{n \beta \sqrt{1 - \beta^2 \sin^2 \psi_1} - \cos \psi_1}{1 - \beta^2} \sqrt{1 - \beta^2 \sin^2 \psi_1}, & \text{если } \psi_0 < \psi_1 < \pi \end{aligned}$$

Точки, для которых  $\theta = \pi$ , лежат на границе  $S_1$ , но интегрирование по  $\theta$  можно производить от  $-\pi + \epsilon$  до  $\pi + \epsilon$  и тем самым достигнуть того, чтобы эти точки лежали внутри области  $S_1$ .

Для того чтобы экстремальная точка не попала в окрестность прямой  $EF$  (фиг. 2), следует исключить из рассмотрения те углы  $\psi_1$ , для которых значение  $q_n$  оказывается близким к единице.

Проводя все необходимые вычисления и показав затем, как и для потенциала отраженных волн, малость интегралов по другим частям области интегрирования, приходим окончательно к асимптотической оценке потенциала преломленных волн в виде

$$\begin{aligned} \varphi_1 &= \frac{i}{r} \left[ \frac{2\pi}{V(w_{q_1} w_{\theta_1} - w_{q\theta}^2)_{nn}} F(q_n, \theta_n) \times \right. \\ &\times \exp \left\{ i\sigma \left[ -\frac{\beta x}{c(1-\beta^2)} + \frac{1}{c(1-\beta^2)} \sqrt{x^2 + (1-\beta^2)z^2} \right] \right\} + \frac{1}{r} O\left(\frac{1}{r}\right) \end{aligned} \quad (2.17)$$

где индексы  $nn$  означают, что значение берется в точке  $(q_1, \theta_1)$  при  $\psi < \psi_0$  и в точке  $(q_2, \theta_2)$  при  $\psi > \psi_0$ .

Показательный множитель в выражении (2.17) имеет тот же вид, что и в потенциале источника в движущейся среде [4].

Однако функция  $F(q_n, \theta_n)$  будет также содержать показательный множитель с мнимым показателем и поэтому будет давать сдвиг фазы.

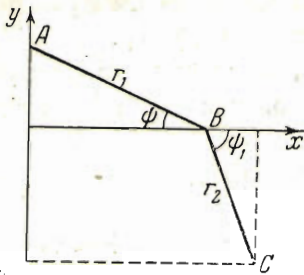
Если изучить линии равного потенциала, то они не будут «сдуваемыми» окружностями, как для потенциала источника в движущейся среде. Они не будут окружностями даже в случае отсутствия скорости у нижней среды.

Если  $h \rightarrow 0$ , то выражение (2.17) по фазе превращается в потенциал источника в движущейся среде.

**§ 3. Исследование преломленных волн в случае, когда нижняя среда покоится, проведено в работе [1] методом перевала для однократных интегралов.**

Применение метода перевала, обобщенного на двойные интегралы, облегчает эту часть исследования.

Для сравнения результатов с геометрической акустикой будем из точки «источника» перемещаться в точку, в которой изучается значение потенциала по пути  $ABC$  (фиг. 4), где углы  $\psi$  и  $\psi_1$  связаны известным соотношением



Фиг. 4

$$n \cos \psi_1 = \cos \psi$$

Пользуясь тем, что

$$\begin{aligned} h &= r_1 \sin \psi \\ -z &= r_2 \sin \psi_1 \\ x &= r_1 \cos \psi + r_2 \cos \psi_1 \end{aligned} \quad (3.1)$$

получим выражение потенциала в следующем виде

$$\begin{aligned} \varphi_1 &= \frac{ik}{\pi} \int_0^{\infty} dq \int_{-\pi}^{\pi} \frac{q}{m \sqrt{1-q^2} + \sqrt{n^2-q^2}} \exp \{ikr_1 [q \cos \psi \cos \theta + \sin \psi \sqrt{1-q^2}] \times \\ &\quad \times \exp \{ikr_2 [q \cos \psi_1 \cos \theta + \sin \psi_1 \sqrt{n^2-q^2}] \} d\theta \end{aligned} \quad (3.2)$$

Асимптотический анализ этого выражения проведем для больших  $kr_1$ , а затем для больших  $kr_2$ . В первом случае, сохраняя члены порядка  $(kr_1)^{-1}$ , получим

$$\varphi_1 = \frac{2}{r_1} \frac{\sin \psi}{m \sin \psi + \sqrt{n^2 - \cos^2 \psi}} \exp \{ik[r_1 + r_2 \cos \psi_1 \cos \psi] - ikz \sqrt{n^2 - \cos^2 \psi}\}$$

Во втором случае, сохраняя члены порядка  $(kr_2)^{-1}$ , получим

$$\begin{aligned} \varphi_1 &= \frac{2n}{r_2} \frac{\sin \psi_1}{n \sin \psi_1 + m \sqrt{1 - n^2 \cos^2 \psi_1}} \exp \{ik[r_2 + r_1 \cos \psi \cos \psi_1] \times \\ &\quad \times \exp [ikr_1 \sin \psi \sqrt{1 - n^2 \cos^2 \psi_1}] \end{aligned} \quad (3.4)$$

В предположении малости  $\psi$  или  $\psi_1$  получают первые члены формул (76) или (79) работы Л. М. Бреховских<sup>[1]</sup>.

В заключение приношу глубокую благодарность Л. Н. Сретенскому за ценные советы при выполнении настоящей работы.

Поступила 18 XI 1952

Морской гидрофизический  
институт Академии наук СССР

#### ЛИТЕРАТУРА

1. Бреховских Л. М. Отражение и преломление сферических волн. Успехи физических наук, т. XXXVIII, вып. 1, 1949.
2. Ватсон Г. Н. Теория бесселевых функций. Изд. иностр. литературы, 1949.
3. Конторович М. Н., Муравьев Ю. К. Выводы законов отражения геометрической оптики на основе асимптотической трактовки задачи диффракции. ЖТФ, т. 22, вып. 3, 1952.
4. Войт С. С. Распространение волн от звучащего диска в двузвучающей среде. ПММ, т. XVI, вып. 6, 1952.